

# 무선 근거리 통신망용 저잡음 증폭기의 설계

류지열\* · 노석호\*\* · 박세현\*\*

## Design of a Low Noise Amplifier for Wireless LAN

Jee-Youl Ryu\* · Seok-Ho Noh\*\* · Se-Hyun Park\*\*

### 요약

본 논문에서는 802.11a 무선 근거리 통신망 (wireless LAN)에서 사용 가능한 5.25GHz SiGe 저잡음 증폭기(LNA)를 제안한다. 본 저잡음 증폭기는 2단 구조로 1V의 공급전압에서 동작하며, 0.18 $\mu$ m SiGe 공정으로 제작되었다. 이 저잡음 증폭기의 경우 5.25GHz의 동작주파수에서 17dB의 전압이득, 2.7dB의 잡음지수, -15dB의 반사계수, -5dBm의 IIP3 및 -14dBm의 1dB compression point와 같은 우수한 동작특성을 보였으며, 바이어스 회로에서 소모되는 0.5mW를 포함하여 전체회로에서 소모되는 총 전력은 7mW이다.

### ABSTRACT

This paper describes the design of a two stage 1V power supply SiGe Low Noise Amplifier operating at 5.25 GHz for 802.11a wireless LAN application. The achieved performance includes a gain of 17 dB, noise figure of 2.7dB, reflection coefficient of 15 dB, IIP3 of -5 dBm, and 1-dB compression point of -14dBm. The total power consumption of the circuit was 7 mW including 0.5mW for the bias circuit.

### 키워드

무선 근거리 통신망, 저잡음 증폭기, SiGe 공정, 전압이득, 잡음지수

### I. 서 론

최근 휴대용 무선기기를 비롯한 무선통신 분야에 저전압, 저전력 특성을 지닌 고주파 전단부 (RF front-end) 블럭들에 대한 필요성이 점점 더 증대되고 있다 [1-6]. 그러나 이러한 필요성에도 불구하고 현재 사용되고 있는 많은 회로 토플로지들이 저전압, 저전력에서 만족할 만한 동작특성을 나타내지 못하고 있어, 이 문제를 해결하기 위해 많은 연구가 진행되고 있다 [1-6].

본 연구에서는 저전압, 저전력 특성을 지닌 무선통신 연구의 한 접근 방법으로 802.11a 무선 근거리 통신망에 사용할 5.25GHz SiGe 저잡음 증폭기 (LNA)의 설계를 제안하고자 한다. 본 연구에서 제안하는 저잡음 증폭기는 1V의 매우 낮은 공급전압에서 동작하고, 2단 구조를 가지며, 0.18 $\mu$ m SiGe 공정으로 설계되었다. 저전압, 저전력 특성을 지닌 저잡음 증폭기의 설계를 위해 밴드갭 참조 구조 (band-gap reference)의 바이어스 회로를 적용하였다.

\*애리조나주립대학교 전기공학과

\*\*안동대학교 전자공학과

접수일자 : 2004. 06. 05

## II. 토플로지에 대한 설명

802.11a에 사용하기 위해 저잡음 증폭기가 가져야 할 기본 사양이 표 1에 정리되어 있다. 근거리 통신에 이용하는 802.11a는 다른 응용 분야에 비해 상대적으로 간단한 사양을 가진다. 그러나 주어진 동작주파수에서 표 1에 보인 사양을 만족시키며 1V의 저전압에서 동작하는 저잡음 증폭기를 설계하기는 어려우므로, 다양한 변수들을 고려하여 체계적인 회로 설계가 이루어져야 한다.

표 1. 802.11a용 저잡음 증폭기의 기본 사양  
Table 1. Specification of LNA for Wireless LAN

동작주파수 [GHz]	5.15 ~ 5.35
잡음지수 [dB]	< 3
IIP3 [dBm]	> 0
전압이득 [dB]	> 10
감도 [dBm]	-80

저잡음 증폭기 설계를 위해서는 다양한 종류의 토플로지를 선택할 수 있다. 그 중에서 BJT 캐스코드 구조는 설계가 간단하고 높은 전압이득을 제공한다. 그러나 캐스코드로 연결된 두 개의 트랜지스터를 포화영역에서 동작시키기 위해서는 최소한 1.6V의 공급전압이 필요하기 때문에 1V 전압에 동작하는 저잡음 증폭기의 설계에는 적용할 수 없다. 또한 1단 구조의 토플로지는 1V와 같은 저전압 응용에 적용이 가능하지만, 높은 동작주파수에서 소모전력이 비교적 크며, 설계사양에서 요구되는 이득을 제공하기 어려운 단점이 있다. 저전압에서 동작하는 증폭기를 설계하는 좋은 방법중의 하나는 두 개의 트랜지스터 사이에 교류와 직류 경로를 분리할 수 있는 폴디드(folded) 캐스코드 구조(CS-CG; 공통 소스-공통 게이트)를 사용하는 것이다[3], 이 구조는 첫째 단과 다음 단간에 존재하는 텅크 회로의 정확한 정합을 필요로 한다.

본 연구에서는 기존의 토플로지들이 가진 단점을 보완하고, 이득을 최대화하기 위해서 첫째 단과 다음 단간에 교류 결합 특성을 가진 2단 구조의

CE-CE (공통 에미터-공통 에미터) 토플로지를 이용하고자 한다. 이러한 구조는 입출력 회로간에 좋은 정합이 이루어질 경우 기존의 다른 구조에 비해 이득이 높고 잡음지수가 낮은 장점을 가진다. 그럼 1에 본 연구에서 설계한 저잡음 증폭기 회로를 나타내었다. 전체 회로는 4개의 HBT (High Mobility Transistor; 고이동도 트랜지스터), 5개의 인덕터, 5개의 커패시터, 6개의 저항으로 구성되어 있으며, 단일 칩내에 설계되었다. 그리고 저전압 밴드갭 참조 구조 (band-gap reference) 바이어스 회로가 각 단에 바이어스 전류를 공급하기 위해 사용되었다 [7]. 이러한 회로는 온도나 기타 다른 외부 영향에 대하여 상당히 안정(stable)하며, 저전압 응용에 적합하다. HBT Q3 와 Q4는 각각 약 0.84V의 베이스-에미터 전압 VBE에 바이어스 되어있다. Decoupling 커패시터 C5는 바이어스 전압으로부터 발생되는 고주파 잡음을 바이패스 시키기 위해서 사용하였다 [8].

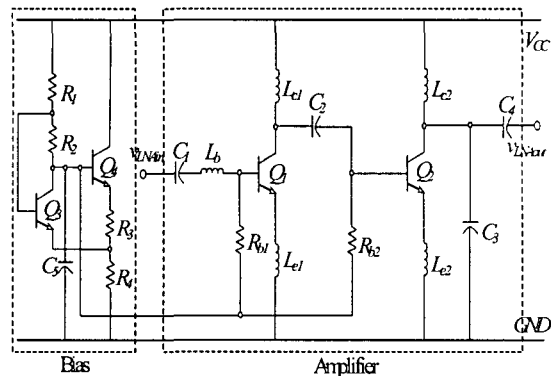


그림 1. 설계된 5.25GHz 저잡음 증폭기 회로도  
Fig. 1. Schematic of designed 5.25GHz LNA

### 2.1 임피던스 및 전력 정합 (Impedance/Power Matching)

앞에서도 언급했듯이 2단 구조의 증폭기에 대해서는 이득을 증가시키고 잡음지수를 감소시키기 위해서는 입출력 회로간에 좋은 임피던스 정합이 필요하다 [8]. 본 연구에서는 이득을 증가시키고 잡음지수를 감소시키기 위해 입력단에서 잡음과 전력 정합 특성을 가지는 증폭기를 설계하고자 하였다. 본 연구에서는 그림 2에 나타나 있듯이  $50\Omega$ 에 더 가까운

$\Gamma_{opt}$ 를 얻기 위해 트랜지스터 Q1의 에미터 면적을 적절히 조절하였으며 [9],  $12.25\mu\text{m}^2$ 의 에미터 면적(5개의 에미터 구조)을 선택하였다.

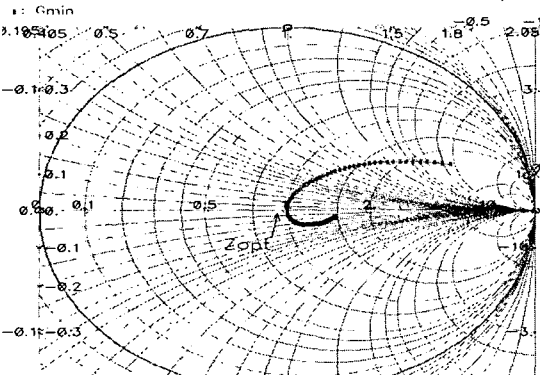
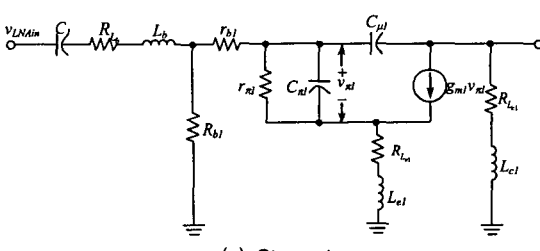
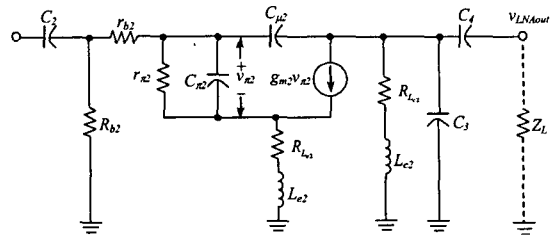


그림 2.  $\Gamma_{opt}$ 에 대한 시뮬레이션 결과  
Fig. 2. Simulation result for  $\Gamma_{opt}$

또한 좋은 임피던스 정합 조건으로, 입력 임피던스의 실수부를  $50\Omega$ 으로 만들고 허수부를 0으로 만들기 위해 트랜지스터 Q1과 Q2의 에미터 단자에 에미터 축퇴용(degeneration) 인덕터 L<sub>e1</sub>과 L<sub>e2</sub>를 각각 첨가하였다. 그림 3은 설계된 증폭기의 고주파 동작을 분석하기 위한 하이브리드 파이 소신호 등가회로를 나타낸 것으로, 고주파에서 실제 인덕터에 존재하는 기생 직렬저항(parasitic series resistances)의 영향이 고려되어 있다. 그러나 HBT Q1과 Q2의 출력 저항 값(ro1와 ro2)은 다른 값들에 비해 매우 큰 값을 가지므로 무시하였다. 또한 고주파에서 HBT Q1과 Q2에 의한 커패시티성 리액턴스 C<sub>π1</sub>과 C<sub>π2</sub>의 영향을 제거하고 동작주파수를 적절히 조절하기 위해 베이스 인덕터 L<sub>b</sub>를 사용하였다. 식(1.1)에서 (1.28)까지는 그림 3으로부터 유도한 저잡음 증폭기의 입력임피던스에 대한 정확한 수식을 나타낸 것이다.



(a) Stage 1



(b) Stage 2

그림 3. 5.25GHz 저잡음 증폭기에 대한 고주파 소신호 등가회로  
Fig. 3. High-frequency small-signal model for 5.25GHz LNA

$$Z_{in(LNA)} = \sqrt{[\operatorname{Re}(Z_{in(LNA)})]^2 + [\operatorname{Im}(Z_{in(LNA)})]^2} \quad (1.1)$$

$$\operatorname{Re}(Z_{in(LNA)}) = R_4 + \frac{R_3 \{[r_{s1} + \operatorname{Re}(Z_{in(1)})][R_{s1} + r_{s1} + \operatorname{Re}(Z_{in(1)})] + [\operatorname{Im}(Z_{in(1)})]^2\}}{[R_{s1} + r_{s1} + \operatorname{Re}(Z_{in(1)})]^2 + [\operatorname{Im}(Z_{in(1)})]^2} \quad (1.2)$$

$$\operatorname{Im}(Z_{in(LNA)}) = \left( \omega L_b - \frac{1}{\omega C_1} \right) + \frac{R_{s1} \operatorname{Im}(Z_{in(1)})}{[R_{s1} + r_{s1} + \operatorname{Re}(Z_{in(1)})]^2 + [\operatorname{Im}(Z_{in(1)})]^2} \quad (1.3)$$

$$\operatorname{Re}(Z_{in(1)}) = \frac{X_{1k}(\omega)Y_{1k}(\omega) + X_{2k}(\omega)Y_{2k}(\omega)}{[X_{1k}(\omega)]^2 + [X_{2k}(\omega)]^2} \Big|_{k=1} \quad (1.4)$$

$$\operatorname{Im}(Z_{in(1)}) = \frac{X_{1k}(\omega)Y_{2k}(\omega) - X_{2k}(\omega)Y_{1k}(\omega)}{[X_{1k}(\omega)]^2 + [X_{2k}(\omega)]^2} \Big|_{k=1} \quad (1.5)$$

$$\operatorname{Re}(Z_{in(2)}) = \frac{R_{s2} \{[r_{s2} + \operatorname{Re}(Z_{in(1)})][R_{s2} + r_{s2} + \operatorname{Re}(Z_{in(1)})] + [\operatorname{Im}(Z_{in(1)})]^2\}}{[R_{s2} + r_{s2} + \operatorname{Re}(Z_{in(1)})]^2 + [\operatorname{Im}(Z_{in(1)})]^2} \quad (1.6)$$

$$\operatorname{Im}(Z_{in(2)}) = \frac{R_{s2} \operatorname{Im}(Z_{in(1)})}{[R_{s2} + r_{s2} + \operatorname{Re}(Z_{in(1)})]^2 + [\operatorname{Im}(Z_{in(1)})]^2} - \frac{1}{\omega C_2} \quad (1.7)$$

$$\operatorname{Re}(Z_{in(3)}) = \frac{X_{1k}(\omega)Y_{1k}(\omega) + X_{2k}(\omega)Y_{2k}(\omega)}{[X_{1k}(\omega)]^2 + [X_{2k}(\omega)]^2} \Big|_{k=2} \quad (1.8)$$

$$\operatorname{Im}(Z_{in(3)}) = \frac{X_{1k}(\omega)Y_{2k}(\omega) - X_{2k}(\omega)Y_{1k}(\omega)}{[X_{1k}(\omega)]^2 + [X_{2k}(\omega)]^2} \Big|_{k=2} \quad (1.9)$$

$$\operatorname{Re}(Z_{in}) = \frac{N_1(\omega) + N_2(\omega)}{[R_{Lc1} + \operatorname{Re}(Z_{in(2)})]^2 + [\omega L_{c1} + \operatorname{Im}(Z_{in(2)})]^2} \quad (1.10.a)$$

$$N_1(\omega) = [R_{Lc1} + \operatorname{Re}(Z_{in(2)})][R_{Lc1} \operatorname{Re}(Z_{in(2)}) - \omega L_{c1} \operatorname{Im}(Z_{in(2)})] \quad (1.10.b)$$

$$N_2(\omega) = [\operatorname{Im}(Z_{in(2)}) + \omega L_{c1}][\omega L_{c1} \operatorname{Re}(Z_{in(2)}) + R_{Lc1} \operatorname{Im}(Z_{in(2)})] \quad (1.10.c)$$

$$\operatorname{Im}(Z_{in}) = \frac{N_3(\omega) - N_4(\omega)}{[R_{Lc1} + \operatorname{Re}(Z_{in(2)})]^2 + [\omega L_{c1} + \operatorname{Im}(Z_{in(2)})]^2} \quad (1.11.a)$$

$$N_3(\omega) = [R_{L_{c1}} + \operatorname{Re}(Z_{in(2)})][\omega L_{c1} \operatorname{Re}(Z_{in(2)}) + R_{L_{c1}} \operatorname{Im}(Z_{in(2)})] \quad (1.11.b)$$

$$Z_{ek} = R_{L_{ek}} + j\omega L_{ek} \quad (1.23)$$

$$N_4(\omega) = \operatorname{Im}(Z_{in(2)}) + \omega L_{c1} [R_{L_{c1}} \operatorname{Re}(Z_{in(2)}) - \omega L_{c1} \operatorname{Im}(Z_{in(2)})] \quad (1.11.c)$$

$$Z_{ck} = R_{L_{ek}} + j\omega L_{ek} \quad (1.24)$$

$$\operatorname{Re}(Z_{L2}) = \frac{N_5(\omega) + N_6(\omega)}{D_1(\omega) + D_2(\omega)} \quad (1.12.a)$$

$$Z_{\pi k} = r_{\pi k} / (1/j\omega C_{\pi k}) \quad (1.25)$$

$$N_5(\omega) = [R_{L_{c1}} - L_{c2}C_4Z_L\omega^2] \{ -[L_{c2}(C_3 + C_4) + R_{L_{c1}}C_3C_4Z_L]\omega^2 \} \quad (1.12.b)$$

$$Z_{pk} = 1/j\omega C_{pk} \quad (1.26)$$

$$N_6(\omega) = \omega^3(L_{c2} + R_{L_{c1}}C_4Z_L)[R_{L_{c1}}(C_3 + C_4) + C_4Z_L - L_{c2}C_3C_4Z_L\omega^2] \quad (1.12.c)$$

$$Z_{bk}(k=1) = R_{L_b} + j\omega L_b + (1/j\omega C_1) \quad (1.27)$$

$$D_1(\omega) = \{1 - [L_{c2}(C_3 + C_4) + R_{L_{c2}}C_3C_4Z_L]\omega^2\}^2 \quad (1.12.d)$$

$$Z_{bk}(k=2) = 1/j\omega C_2 \quad (1.28)$$

$$D_2(\omega) = \{\omega[R_{L_{c2}}(C_3 + C_4) + C_4Z_L - L_{c2}C_3C_4Z_L\omega^2]\}^2 \quad (1.12.e)$$

$$\operatorname{Im}(Z_{L2}) = \frac{N_7(\omega) - N_8(\omega)}{D_1(\omega) + D_2(\omega)} \quad (1.13.a)$$

$$N_7(\omega) = \omega^3(L_{c2} + R_{L_{c1}}C_4Z_L)\{1 - [L_{c2}(C_3 + C_4) + R_{L_{c1}}C_3C_4Z_L]\omega^2\} \quad (1.13.b)$$

$$N_8(\omega) = \omega[R_{L_{c1}} - L_{c2}C_4Z_L\omega^2][R_{L_{c1}}(C_3 + C_4) + C_4Z_L - L_{c2}C_3C_4Z_L\omega^2] \quad (1.13.c)$$

$$\operatorname{Re}(Z_{Bk}) = R_{L_{ek}} + \frac{r_{\pi k}[(1 + g_{mk}R_{L_{ek}}) + \omega^2 g_{mk}R_{L_{ek}}r_{\pi k}C_{\pi k}]}{1 + (\omega r_{\pi k}C_{\pi k})^2} \quad (1.14)$$

$$\operatorname{Im}(Z_{Bk}) = \omega L_{ek} + \frac{\omega r_{\pi k}[g_{mk}L_{ek} - (1 + g_{mk}R_{L_{ek}})r_{\pi k}C_{\pi k}]}{1 + (\omega r_{\pi k}C_{\pi k})^2} \quad (1.15)$$

여기서

$$\operatorname{Re}(Z_{B1}) = \operatorname{Re}(Z_{Bk})(k=1) \quad (1.16)$$

$$\operatorname{Im}(Z_{B1}) = \operatorname{Im}(Z_{Bk})(k=1) \quad (1.17)$$

$$\operatorname{Re}(Z_{B2}) = \operatorname{Re}(Z_{Bk})(k=2) \quad (1.18)$$

$$\operatorname{Im}(Z_{B2}) = \operatorname{Im}(Z_{Bk})(k=2) \quad (1.19)$$

$$X_{1k}(\omega) = 1 - \alpha C_{\mu k} [\operatorname{Im}(Z_{Lk}) + \operatorname{Im}(Z_{Bk}) - \alpha g_{mk} Z_{\pi k} C_{\mu k} \operatorname{Im}(Z_{Lk})] \quad (1.20)$$

$$Y_{lk}(\omega) = \operatorname{Re}(Z_{Bk}) [-\alpha C_{\mu k} \operatorname{Im}(Z_{Lk})] - \alpha C_{\mu k} \operatorname{Re}(Z_{Lk}) \operatorname{Im}(Z_{Bk}) \quad (1.21)$$

$$Y_{2k}(\omega) = \operatorname{Im}(Z_{Bk}) [-\alpha C_{\mu k} \operatorname{Im}(Z_{Lk})] + \alpha C_{\mu k} \operatorname{Re}(Z_{Lk}) \operatorname{Im}(Z_{Bk}) \quad (1.22)$$

출력 임피던스 정합은 두 개의 커패시터로 구성된 L 정합 회로망을 이용하였다. 커패시터 C2는 다음단에 대해 직류 차단 역할을 할 뿐만 아니라 첫째 단과 둘째 단 사이에 최대 전력이 전송되도록 한다. 일반적인 경우 식 (1.1)~식(1.28) 대신에 베이스 저항 rb1이 회로에 미치는 영향을 고려하여 입력임피던스에 대해 식 (2)와 같은 근사식을 이용할 수 있다.

$$Z_{in} \approx jw(L_{el} + L_b) + \frac{1}{jw \cdot C_{\pi 1}} + \frac{g_{m1} \cdot L_{el}}{C_{\pi 1}} + r_{b1} \quad (2)$$

## 2.2 전압이득 (Voltage Gain)

각 단은 출력 부하가 5GHz 주파수 근처에서 공진 특성을 가지도록 설계되었다. 공진특성에서 각 단의 이득은 우선적으로 인덕터의 선택도(quality factor) Q에 달려있다. 따라서 공진주파수 근처에서 각 단의 전압이득은 식 (3)과 같이 표현할 수 있다.

$$G = g_m(Q^2 + 1) \cdot R_L \quad (3)$$

여기서 gm은 HBT의 트랜스컨덕턴스이고, RL은 인덕터의 기생 직렬 저항을 나타낸다.

식 (3)에서도 알 수 있듯이 전압이득을 증가시키기 위해서는 gm을 증가시키거나 인덕터의 Q 및 인덕턴스 값을 증가시킬 수 있다. 그러나 본 연구에서는 증폭기가 5GHz의 적절한 동작 범위에서 공진특성을 유지하기 위해서 2nH 이하의 인덕턴스 값을 가지도록 설계하였고, 전체 칩 면적과 잡음 특성을 고려하여 첫째 단은 약 10dB, 둘째 단은 약 7dB의 전압이득을 갖도록 하였다. 식(4.1) ~ 식(4.5)는 그림 3으로부터 얻은 저잡음 증폭기 회로의

전체 전압이득에 대한 정확한 수식을 나타낸 것으로, 이 식을 이용하여 좀 더 체계적으로 저잡음 증폭기를 설계할 수 있다.

$$G_{LNA} = \frac{V_{LNAout}}{V_{LNAIN}} = G_1 G_2 G_3 \quad (4.1)$$

$$G_1 = \frac{\left[ 1 + \frac{Z_{etk}}{Z_{ek}} + g_{mk}(Z_{ek} - Z_{fk}) \right]}{Z_{bk} \{ D_3(\omega) - D_4(\omega) \}} \quad (4.2.a)$$

$$D_3(\omega) = \left( 1 + \frac{Z_{etk}}{Z_{ek}} \right) \left[ \left( \frac{1}{Z_{ek}} + \frac{1}{R_{ek}} \right) + \frac{1}{Z_{ek}} \left( 1 + \frac{r_{ek}}{Z_{ek}} + \frac{r_{ek}}{R_{ek}} \right) \right] \left( 1 + \frac{Z_{ek}}{Z_{etk}} + g_{mk} Z_{ek} \right) + \frac{1}{Z_{ek}} \left( 1 + \frac{r_{ek}}{Z_{ek}} + \frac{r_{ek}}{R_{ek}} \right) \quad (4.2.b)$$

$$D_4(\omega) = \left( 1 + \frac{r_{ek}}{Z_{ek}} + \frac{r_{ek}}{R_{ek}} \right) \frac{1}{Z_{ek}} \left( 1 + \frac{Z_{etk}}{Z_{ek}} + g_{mk} Z_{ek} \right) - g_{mk} \quad (4.2.c)$$

여기서

$$G_1 = G_k (k=1) \quad (4.3)$$

$$G_2 = G_k (k=2) \quad (4.4)$$

$$G_3 = \frac{j\omega C_4 Z_L}{C_4 + j\omega C_4 Z_L} \quad (4.5)$$

### 2.3 잡음지수(Noise Figure)

설계된 저잡음 증폭기는 최소 잡음에서 동작하도록 적절한 전류밀도에서 바이어스 되어있다. 또한 잡음지수를 최소화하기 위해 잡음 정합을 고려하였다. 이러한 값은 전류밀도 대 잡음지수 특성곡선으로부터 얻을 수 있다 [2]. 설계된 저잡음 증폭기의 각 단을 통해 흐르는 전류는  $0.2mA/\mu m^2 \times 12.25\mu m^2 = 2.45mA$ 이다.

BJT의 베이스 저항  $rb$ 는 잡음의 주요한 소스중의 하나이다. 소자의 면적을 증가시켜 이를 감소시킬 수 있으나, 소자 면적의 증가와 함께 기생 성분이 증가하며 이로 인해 소자의 속도가 저하된다. 즉, 소자의 속도와 잡음특성 간에는 서로 상보성(trade-off)이 존재한다. 베이스 저항  $rb$ 의 효과를 고려하여 간략화된 잡음지수를 식(5)에 나타내었다 [10].

$$NF = 1 + \frac{r_{b1}}{R_{Lb}} + \frac{1}{2g_{m1}R_{Lb}} + \frac{g_{m1}R_{Lb}}{2\beta_o} \quad (5)$$

### 2.4 안정 계수 (Stability Factor)

저잡음 증폭기는 동작주파수 근처에서 무조건적으로 안정(unconditionally stable)해야 한다. 이러한 특성은 동작주파수 근처에서 안정 계수 K를 측정하여 알 수 있으며, 증폭기의 무조건적 안정을 위해서는  $K > 1$  되도록 설계해야 한다.

### 2.5 고조파 상호 변조 왜곡 (Harmonic Intermodulation Distortion)

SiGe HBT는 더 낮은 베이스-에미터 도통전압 VBEon을 가지기 때문에 BJT보다 더 우수한 선형성(linearity)을 가지며 [11], 에미터 축퇴구조는 공통 에미터 단의 선형성을 향상시킬 수 있다 [12]. 이러한 개념을 바탕으로 설계된 저잡음 증폭기는 고조파에 대해 우수한 선형성을 갖는다.

### III. 소자 사진

그림 4는 설계된 저잡음 증폭기에 대한 실제 제작된 사진을 나타낸 것으로, 다이(die) 면적은  $1.1mm \times 1.2mm$ 를 차지한다. 5개의 인덕터가 대부분의 면적을 차지하며, 이들은  $3\mu m$ 의 두께를 가진 최상위(top) 금속으로 레이아웃되어 있다.

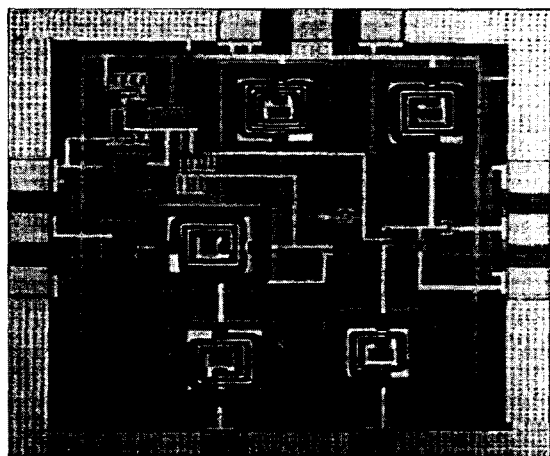


그림 4. 설계된 저잡음 증폭기에 대한 실제 사진  
Fig. 4. Chip micrograph for LNA

입출력 패드들은 프로브스테이션을 이용하여 웨이퍼 상에서 측정할 수 있도록 GSG(Ground-Signal-Ground) 구조로 레이아웃되었다. 신호가 지

나갈 선들은 상호결합의 영향을 최소로 줄이기 위해 거리를 가능한 한 멀리하였고, electromigration 조건을 만족시키기 위해 충분히 넓게 하였다. 또한 접지선들은 접지쪽으로 낮은 임피던스 경로를 제공하기 위해 넓게 하였다. 기판으로부터 발생되는 잡음을 최소로 하기 위해 각각의 인덕터와 트랜지스터 주위를 접지 보호 링(guard rings)하여 기판과 연결하였다. 사용된 커패시터는 높은 선택도를 가진 MIM(Metal-Insulator-Metal) 구조이며, Tantalum nitride 박막형 저항을 사용하였다.

#### IV. 시뮬레이션 및 실험결과

저잡음 증폭기를 설계하고 시뮬레이션하기 위해 Cadence를 이용하였다. 저잡음 증폭기를 구성하는 각 요소들이 공정 파라미터의 미세변동으로 인해 최악의 공정조건(worst-case process)으로 제작될 경우를 대비하여 corner 시뮬레이션도 함께 수행하였으나, 정규 결과와 큰 편차를 보이지는 않았다. 또한 설계된 저잡음 증폭기는 전원전압이 0.9V에서 1.5V까지 변해도 정상적으로 동작을 하였다.

그림 5는 S 파라미터 결과를 나타낸 것이다. 이러한 결과를 통해 전압이득과 안정계수, 입력 반사손실(input return loss) 및 출력 반사손실(output return loss), 그리고 역 흐름 격리 특성(reverse isolation) 등을 확인할 수 있다. 그림 5에서도 알 수 있듯이 5.25GHz 근처에서 우수한 특성을 보였다. 설계된 저잡음 증폭기는 5.25GHz의 동작주파수에서 40.26dB의 입력 임피던스와 17.15dB의 전압이득, -25.28dB의 입력 반사손실, -23.46dB의 출력 반사손실, -31.29dB의 역 흐름 격리 특성 및 2.623의 안정계수를 보였다. 또한 1.115와 1.144의 입력 VSWR과 출력 VSWR을 각각 보였다. 설계된 증폭기는 1GHz~10GHz의 주파수 범위에서 무조건적인 안정성을 보였다.

그림 6은 잡음지수 및 잡음 정합특성에 대한 시뮬레이션 결과를 나타낸 것으로, 설계된 저잡음 증폭기는 5.25GHz의 동작주파수 근처에서 최소 잡음지수(NFmin)와 일치하였다. 이 결과는 설계된 저잡음 증폭기가 5.25GHz의 동작주파수 근처에서 최소 잡음으로 동작하도록 바이어스 되어있으며, 잡음 정합이 이루어져 있음을 의미한다. 설계된 저잡음 증폭기는 5.25GHz의 동작주파수에서 2.7dB의

잡음지수를 보였다.

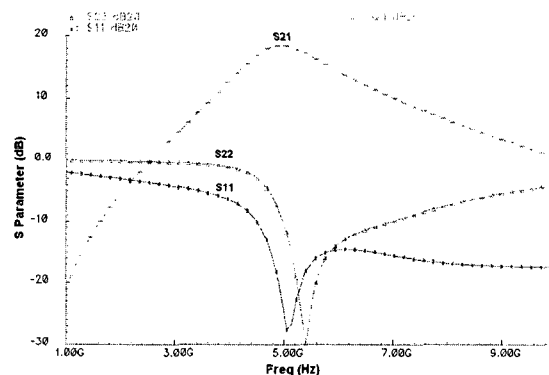


그림 5. S 파라미터에 대한 시뮬레이션 결과

Fig. 5. S-Parameter results

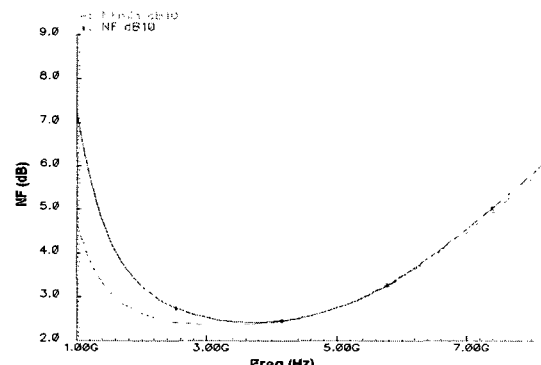


그림 6. 잡음지수 및 잡음 정합 특성에 대한 시뮬레이션 결과

Fig. 6. Noise figure and noise matching

그림 7은 설계된 저잡음 증폭기의 선형성을 확인하기 위해 IIP3(3rd order input intercept point)에 대한 시뮬레이션 결과를 나타낸 것으로, 입력 신호로서 1차 주파수는 5.2GHz, 3차 주파수는 5.15GHz를 각각 사용하였다. 그 결과 설계된 증폭기는 -5dBm의 IIP3 및 -14dBm의 1dB compression point를 보였다. 설계된 저잡음 증폭기는 1V의 저전압에서 동작하기 때문에 트랜지스터들이 포화영역으로 들어가기 전에 허용할 수 있는 출력 스윙 전압은 약 0.2V이며, 이는 저전압에서 동작하는 증폭기가 선형성면에서 한계를 가지고 있음을 보여준다.

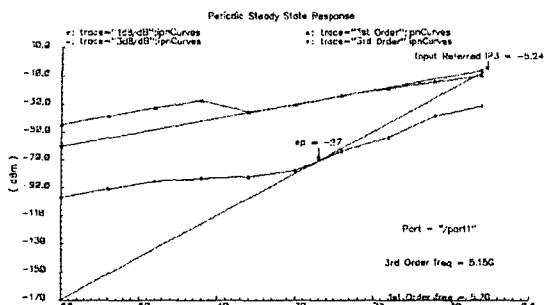


그림 7. IIP3에 대한 시뮬레이션 결과

Fig. 7. IIP3 results

증폭기를 설계하고 레이아웃한 후에 Assura RCX 툴을 이용하여 기생성분 추출(parasitic extraction)을 수행하였고, 추출된 결과를 토대로 포스트 레이아웃 시뮬레이션을 수행하였다. 레이아웃 전과 후의 시뮬레이션 결과들은 각각 거의 비슷한 특성을 보였다.

표 2는 5GHz 동작주파수대의 용용분야에서 현재까지 연구된 결과와 본 연구결과를 비교를 한 것으로, 본 연구결과가 기존의 방법에 비해 우수한 특성을 보이고 있음을 알 수 있다.

표 2. 5GHz 동작주파수대에 대한 특성비교  
Table 2. Results for operation frequency of 5GHz

	본 연구*	[3]	[4]	[5]	[6]
공정	SiGe 0.18μm	Si BJT 0.15μm	SiGe 0.5μm	Si BJT 0.6μm	CMOS 0.18μm
공급전압 [V]	1	1	1	2-3.3	1
동작주파수 [GHz]	5.25	5.8	5.8	5.8	5.8
전압이득 [dB]	17.15	11.5	13	11-14	13.2
전력소모 [mW]	7	6.6	9	18-44	22
잡음지수	2.7	4	2.1	3.8-4.2	2.5
P <sub>1dB</sub> [dBm]	-14	-19	-21	-18	-14

## VI. 결 론

1V 5.25GHz SiGe 저잡음 증폭기가 0.18μm SiGe HBT 공정으로 설계되었다. 802.11a 무선 근거리 통신망(wireless LAN)에 용용하기 위한 저잡음 증폭기는 2단 구조를 가지며, 1V의 공급전압에서 동

작한다. 이는 5.25GHz의 동작주파수에서 17dB의 전압이득, 2.7dB의 잡음지수, -15dB의 반사계수, -5dBm의 IIP3 및 -14dBm의 1dB compression point를 보였으며, 기존에 연구된 결과보다 더 우수한 동작특성을 보였다. 바이어스 회로에서 소모되는 0.5mW를 포함하여 전체회로에서 소모되는 총전력은 7mW이었다. 향후 프로브스테이션과 벡터 네트워크 분석기, 스펙트럼 분석기 등을 이용하여 제작된 저잡음 증폭기의 특성을 정밀하게 측정할 계획이다.

## 참고문헌

- [1] T.H Lee, H. Samavati, H.R. Rategah, "5-GHz CMOS wireless LANs," IEEE Transactions on Microwave Theory and Techniques, Vol. 50, No. 1, pp. 268-280, Jan. 2002.
- [2] F.K. Chai, T.R. Reuter, D.Z. Baker, J. Kirchgessner, "Outstanding noise characteristics of SiGe: C HBT allow flexibility in high-frequency RF designs," 2003 IEEE Radio Frequency Integrated Circuits(RFIC) Symposium, pp. 151-154, June 2003.
- [3] T.K.K. Tsang, M.N. El-Gamal, "A fully integrated 1V 5.8 GHz bipolar LNA," The 2001 IEEE International Symposium on Circuits and Systems, Vol. 4, pp. 842-845, May 2001.
- [4] M. Soyuer, J.O. Plouchart, H. Ainspan, J. Burghartz, "A 5.8GHz 1V Low Noise Amplifier in SiGe Bipolar Technology," 1997 RFIC Symposium, pp. 19-22, 1997.
- [5] G. Schuppener, M. Mokhtari, B. Kerzar, "A 5.8 GHz low noise amplifier for wireless LAN applications in silicon bipolar technology," The 6th IEEE Int. Conference on Electronics, Circuits and Systems, Vol. 2, pp. 773-776, Sept. 1999.
- [6] T.K.K. Tsang, M.N. El-Gamal Gain and frequency controllable sub 1V 5.8 GHz CMOS LNA," 2002 IEEE International Symposium on Circuits and Systems, Vol. 4, pp. 795-798, May 2002.
- [7] H.A. Ainspan, C.S. Webster, "Measured results on bandgap reference in SiGe BiCMOS," Electronics Letters, Vol. 34, No. 15, pp. 1441-1442, July 1998.
- [8] RF CMOS IC Design Guidelines, CRAFT Project, CMOS RF Circuit Design for

Wireless Application.

- [9] L. Qingqing, N. Guofu, J.D. Cressler, S. Taylor, D.L. Harame, "Geometry and bias current optimization for SiGe HBT cascode low-noise amplifiers," 2002 IEEE Radio Frequency Integrated Circuits (RFIC) Symposium, pp. 407-410, June 2002.
- [10] RF Microelectronics, B.Razhavi, Prentice Hall, 1998.
- [11] R. Plana, "SiGe Technologies for Wireless Microwave and millimeter-Wave Applications," 2002 22nd International Conference on Microelectronics, Vol 2, pp. 415-422, May 2000.
- [12] Radio Frequency Integrated Circuit Design, Calvin Plett, John Rogers, Miles A. Copeland Artech House, 2003.

저자소개

류지열(Jee-Youl Ryu)



1993년 부경대학교 전자공학과  
졸업(공학사)  
1997년 부경대학교 전자공학과  
졸업(공학석사)  
2000년 ~ 현재 애리조나 주립대학교 전기공학과 박사과정

※ 관심분야 : 고주파 집적회로 설계 및 검사, 모듈로 틱 마이크로웨이브 집적회로 설계 및 검사, 아날로그 집적회로 설계 및 검사, 수동소자 모델링 및 검사 알고리즘 개발 및 MEMS 기술



노석호(Seok-Ho Noh)

1982년 한양대학교 전자공학  
과 졸업(공학사)  
1990년 일본 동경공업대학교  
물리정보공학 졸업(공학석사)  
1993년 일본 사이다마대학교  
생산정보공학 졸업(공학박사)  
1993년 3월 ~ 1998년 2월 한국전자통신연구소  
위성방송시스템연구실 선임연구원  
1998년 3월 ~ 현재 안동대학교 전자정보산업학부  
전자공학전공 부교수  
※ 관심분야 : 디지털방송시스템, DSP, 반도체  
회로 설계 및 검사

박세현(Se-Hyun Park)

1993년 3월 ~ 현재 안동대학교 전자정보산업학부  
전자공학전공 교수  
(한국해양정보통신학회 제6권 5호 참조)